

5. CEBİRİ BORULAR

5.1. Hidroelektrik Santrallerde Su Yolları

Bir hidroelektrik santral tesisinde türbinlerin tahriki ve elektrik enerjisi üretimi için kullanılan suyun kaynaktan alınarak türbinlere kadar sevk edildiği Su Alma Yapısı, Su İletim Kanalı, Çökeltme Havuzları, Su İletim Tüneli (Basınçsız Tunel), Denge Bacası, Yükleme Havuzu, Enerji Tuneli (Basınçlı Tunel), Cebri Boru, vs. gibi suyun geçtiği yollara "Su Yolları" ve bu su yolları üzerinde bulunan hidromekanik teçhizata ise "Su Yolları Teçhizatı" adı verilir.

Hidroelektrik tesislerin yapılış şecline göre yukarıda kaydedilen su yolları tesislerinin biri veya bir kaçi bir hidroelektrik tesisine yer alabilir. Su yollarından geçen su basınçsız ise, bu su yollarına Basınçsız Su Yolları adı verilir. Örneğin, Su İletim Kanalları ve Su İletim Tünelleri, "Basınçsız Su Yolları"dır. Su yollarından geçen su basınçlı ise, bu gibi su yollarına da Basınçlı Su Yolları adı verilir. Örneğin, Enerji Tünelleri ve Cebri Borular "Basınçlı Su Yolları"dır.

5.2. Cebri Boruların Özellikleri

Hidroelektrik güç tesisinde su kaynağı ile türbin arasındaki basınçlı borulara cebri borular adı verilir. Bir cebri borudan ayrılmış kollara cebri boru ayrimı veya cebri boru branşmanları adı verilir. Cebri boruların ölçülendirilmesi hidroelektrik güç tesisi tasarımda önemli bir faktördür. Boru uzunluğu maliyet yönünden en ekonomik ve kayıplar yönünden en asgari olacak şekilde hesaplanmalıdır. Aksi takdirde gereksiz kurulum maliyetleri ortaya çıkar ve net düşüde azalma meydana gelir.

Gerek cebri borular ve gerekse boru branşmanları çelik saç levhaların kıvrılıp kaynakla birbirlerine birleştirilmeleri ile imal edilirler. Yüksek hidrolik düşülü Hidroelektrik tesislerindeki cebri boruların boyları çok uzun olduğu için Hidroelektrik tesislerinin toplam maliyeti içindeki cebri boru maliyeti payı çok yüksek olabilir. Bu nedenle uzun boylu cebri borularda ekonomik cebri boru çapının tespiti büyük önem taşır.

Yüksek hidrolik düşülü santrallarda kullanılan cebri boruların et kalınlıklarının ve bağlantı yerlerinin yüksek statik ve dinamik zorlamalara dayanabilecek şekilde seçilmesi zorunludur. Cebri borular, uygun kalınlıklardaki kıvrılmış çelik saçların birbirlerine kaynak edilmeleri veya perçinlenmeleri ile imal edilirler. Kullanılan çelik saçların sünek olması gereklidir. Cebri boruların imalatında genellikle St. 37, St. 42 ve St. 52 çelik saçları kullanılır. Bu saçların; akma sınırları $\sigma = 21 - 36 \text{ (kp/mm}^2\text{)}$ ve kopma uzamaları ise $\delta = \% 27 - 22$ arasında değişir.

Cebri borularının imal edileceği malzemelerin çekme, bükme ve çatlama zorlamalarına karşı da gerekli dayanma özelliğine sahip olması ve imal edilen cebri borularının iç yüzeylerinin pürüzsüz, iç ve dış yüzeylerinin paslanmaya karşı koruyucu bir kaplama ile kaplanmış olması gereklidir. Ayrıca, cebri borularının ek yerlerinin su sızdırmaz ve sıcaklık değişimleri ile meydana gelen genleşmeleri zarar görmeden karşılayabilecek şekilde yapılmalı gerekir.

5.3. Cebri Boru Tipleri:

Cebri boru bir tane olabilecegi gibi sistemin durumuna göre birden çok da olabilir. Birden çok cebri boru oldugu durumda boru çapı segiminde benzerlik yaklasimları dikkate alınır. Bu benzerlik yaklasimları, "Benzer Akis Hizlari" ve "Benzer Akis Kayiplari" şeklindedir.

Cebri borularda;

Q : Tek bir cebri borudan过的 suyun hacimsel debisini

D : Cebri boru kapini

C : Akis hizini

h_L : Bozlangıca kaybını (Yerel olarak)

e : Et kalınlığını

G : Cebri borunun ağırlığını

ifade etmektedir.

Benzerlik yaklasimlarini sırasıyla ele alalım.

Benzer Akis Hizlari Yaklasimi:

n adet boru devresi durumunda n sayısı Q 'ya bölünden her borunun çapı benzer akis hizini saglayacak şekilde belirlenmelidir. n borulu bir sisteme her cebri borunun debisi,

$$Q_n = \frac{Q}{n}$$

seklinde hesaplanır.

Benzer hiz şarti dikkate alindiginda

$$C = \frac{Q}{\pi D^2 / 4} = \frac{Q_n}{\pi D_n^2 / 4}$$

D_n : Yuklu sisteme herhangi bir cebri borunun kapini ifade eder.

$$D_n = D \sqrt{\frac{Q_n}{Q}} = \frac{D}{\sqrt{n}}$$

seklinde tanimlanır.

Tek bir cebri boru kurulumu sırasında sırısına nedenile olusan kayip

$$h_L = f \frac{L}{D} \frac{C^2}{2g} = \frac{f L}{2g D} \left(\frac{4Q}{\pi D^2} \right)^2$$

$$h_L = \frac{16 f L}{2g \pi^2} \frac{Q^2}{D^5}$$

$$\alpha_1 = \frac{16 f L}{2 g \pi^2} = 0,083 f L$$

$$h_L = \alpha_1 \cdot \frac{Q^2}{D^5}$$

n adet cebri boru iğin sürümme kaybı,

$$h_{Ln} = \alpha_1 \cdot \frac{Qn^2}{Dn^5} = \alpha_1 \cdot \frac{\left(\frac{Q}{n}\right)^2}{\left(\frac{D}{\sqrt{n}}\right)^5} \Rightarrow h_{Ln} = \alpha_1 \cdot \frac{Q^2 \cdot n^{5/2}}{n^2 \cdot D^5}$$

$$h_{Ln} = \alpha_1 \cdot \frac{Q^2 \sqrt{n}}{D^5} \Rightarrow h_{Ln} = h_L \sqrt{n} \text{ şeklindedir.}$$

Tekli cebri boru düzeneşesi durumunda et kalınlığı,

$$e = \frac{P \cdot D}{2 \gamma_{\text{çelik}}} \rightarrow \alpha_2 = \frac{P}{2 \gamma_{\text{çelik}}} \rightarrow e = \alpha_2 \cdot D \text{ şeklindedir.}$$

Burada, P : in basına, D : çap ve $\gamma_{\text{çelik}}$: çelik borunun normal gerilmesi olarak tanımlanmaktadır.

n adet cebri boru durumunda et kalınlığı,

$$e_n = \alpha_2 \cdot D_n = \alpha_2 \cdot \frac{D}{\sqrt{n}}$$

$$e_n = \frac{e}{\sqrt{n}} \text{ şeklindedir.}$$

Tek bir cebri boru kurulumu durumunda toplam cebri boru ağırlığı,

$$G = \gamma_{\text{çelik}} \cdot \pi \cdot D \cdot e \rightarrow \alpha_3 = \gamma_{\text{çelik}} \cdot \pi \rightarrow G = \alpha_3 \cdot D \cdot e$$

n sayıda cebri boru iğin tek bir cebri boru ağırlığı,

$$G_n = \alpha_3 \cdot D_n \cdot e_n$$

$$G_n = \alpha_3 \cdot \frac{D}{\sqrt{n}} \cdot \frac{e}{\sqrt{n}} \rightarrow G_n = \frac{G}{n} \text{ şeklindedir.}$$

n sayıda cebri borular olusan sistemin toplam ağırlığı,

$$n \cdot G_n = G \text{ şeklindedir.}$$

Toplam ağırlık değişmiyor. $G = \text{sabit}$

Benzer Sırtırma Kaybi Yaklaşımı;

Sırtırma kaybi benzerliği açısından,

Tek bir cebri borunun kaybına benzer bir kayip için D_n gapının belirlenmesi,

$$h_L = \alpha_1 \frac{Q^2}{D^5} = \alpha_1 \frac{\left(\frac{Q}{n}\right)^2}{D_n^5} \Rightarrow D_n = \frac{D}{\sqrt[5]{n^2}}$$

Akış hızları açısından, bir cebri borudaki akış hızı

$$C_n = \frac{\frac{Q}{n}}{\frac{\pi D_n^2}{4}} = \frac{C}{\sqrt[5]{n}} \Rightarrow C_n = \frac{C}{\sqrt[5]{n}}$$

Etkinlikliği açısından, n adet cebri borunun herbirindeki etkinlikliği

$$e_n = \alpha_2 \cdot D_n = \frac{e}{\sqrt[5]{n^2}} \Rightarrow e_n = \frac{e}{\sqrt[5]{n^2}}$$

Ağırlık açısından, n adet cebri borunun herbirinin ağırlığı

$$G_n = \alpha_3 \cdot D_n \cdot e_n = \frac{G}{\sqrt[5]{n^4}}$$

Cebri boru sisteminin toplam ağırlığı

$$n \cdot G_n = \sqrt[5]{n^4} \cdot G$$

Tekli ve çoklu cebri boru düzeneşmelerinin karşılaştırılması

Tek Cebri Boru	Benzer n adet cebri boru		
		Hız	Sırtırma kaybi
Debi	Q	$n \cdot \frac{Q}{n} = Q$	$n \cdot \frac{Q}{n} = Q$
Gap	D	$D/n^{1/2}$	$D/n^{2/5}$
Hız	C	C	$C/n^{1/5}$
Sırtırma kaybi	h_L	$h_L \cdot n^{1/2}$	h_L
Etkinlikliği	e	$e/n^{1/2}$	$e/n^{2/5}$
Toplam ağırlık	G	G	$G \cdot n^{1/5}$

Yukarıdaki iki yaklaşım değerlendirilirken alternatif ekonomik analizler göz önünde bulundurulmalıdır. Birde çoklu cebri boru içeren yönetimde gerekli miktari, tek cebri boru düzeneşimi için gereklili miktardan büyükler.

Artan destek aparatları nedeniyle inşaat ve imalat maaşları da artar. Diğer taraftan iki yada daha fazla cebri borunun kullanımı ilave işletme güvenliği antimine gelmektedir. Bir tamirat söz konusu olduğunda sistemin tamamen durması gerekmeyez, cebri boru sayısına alternatif ekonomik analizler yapılarak karar verilmelidir.

Cebri boru getirilme maaşından yoksas, Yerleşeceği bölge görünüşe alındığında gümülü ve açık olmak üzere iki şekilde uygulanır.

Gümülü (Yer Altında) Cebri Borular:

Aventajları:

- Toprak ortusü sıcaklık değişim etkilerine karşı cebri boruyu korur.
- Toprak ortusü taşınan suyu donmaya karşı korur.
- Gümülü borular çevre peyzajını bozmez.
- Gümülü borular, düzgün ağalar, heyelanlar ve yuvarlanan kayalar açısından daha güvenlidir.
- Ek aparat gereklidir.

Dezavantajları:

- Butür borular herhangi bir olumsuzlukta ulaşmak için daha az erişilebilidir. Herhangi bir kaoslu durumda kaoslu haleyle bulunamaz.
- Büyüük yapılı olduktari için kari ve dolgu malzemesi nedeniyle kurulumları pahalıdır.
- Çok dik bir tepeden aşağıya doğru kurulmuşsa ve özellikle toprağın sürünme katsayısı düşüksse bu tür borular kayabilir.
- Boruların bakım ve tamiri zordur.

Açık Cebri Borular:

Bu borular arazi yüzeyinin üzerine kurulurlar ve desteklenirler. Arazi ve boru arasında bir bağlantı yoktur. Destek aparatları sürekli değişildir. Kekapek şeklinde olup belli mesafelende boruyu sararak korur.

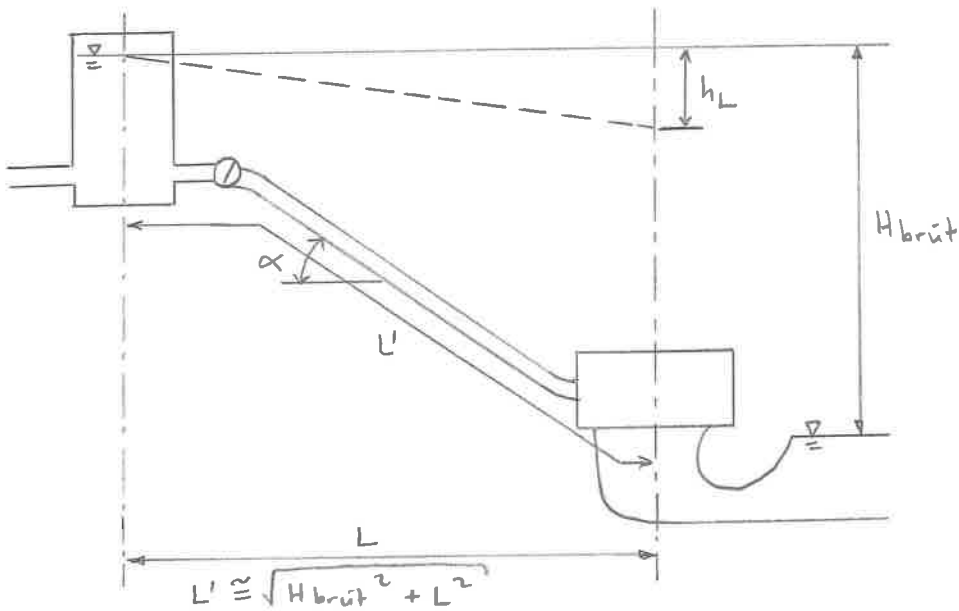
Aventajları:

- Operasyon esnasında yeterince gözlem ve süreklilik imkani sağlarlar.
- Kurulumları daha ucurdur.
- Kaymaya karşı güvenliği demir aparatların tespiti ile garantislenir.
- Bu şekildeki borular nispeten ulaşılabilirdir. Bakım ve tamir işlemleri için kolayca bir yere taşınabillirler.

Derevantajları:

- Dizaynındaki sıcaklık değişimlerine tamamen maruzdur. Bu nedenle tasınan su donabilir.
- Destek ve tespitlerin arasındaki mesafe nedeniyle sıcaklık değişimlerinden kaynaklanan boyllamasına gerilimeler oluşabilecektir.

5.4. Cebri Borularla Pratik Hidrolik Hesaplamalar:



Cebri boru yapısını belirtmek için pratik ampirik denklemler kullanılır. Cebri borudaki maksimum hız, $C_{max} = 6 \text{ m/s}$ olarak dikkate alınıp kayıp ifadesi için

$$h_L = \frac{C^2 \cdot L' \cdot n^2}{R^{4/3}} \leq 0,05 + H_{brut} \quad [\text{Ludin - Bundschu ampirik denklemi}]$$

Kullanılır. Burada, C : akış hızı, L' : cebri boru uzunluğu, n : katsayı ve R : hidrolik yarıçap olarak tanımlanmıştır.

Benzer şekilde cebri boru in yapısı için,

$$H_{brut} < 100 \text{ m} \rightarrow D = \sqrt[7]{0,05 Q^3} \quad [\text{m}]$$

$$H_{brut} > 100 \text{ m} \rightarrow D = \sqrt[7]{\frac{5,2 Q^3}{H_{brut}}} \quad [\text{m}]$$

bağıntıları kullanılır.

Örnek: $Q = 15 \text{ m}^3/\text{s}$ debiye sahip ve $H_{\text{brüt}} = 120 \text{ m}$ toplam düşüye sahip bir hidroelektrik santralde cebri boru 45° eğimli olarak konumlandığına göre cebri boru iç çapını belirleyiniz. ($n = 0.014$ olarak verilmiştir).

Gözüm: $C_{\text{maks}} = 6 \text{ m/s}$ kabulü ile

$$A = \frac{Q}{C} = \frac{15}{6} = 2.5 \text{ m}^2, \quad A = \frac{\pi D^2}{4} \rightarrow D = 2 \sqrt{\frac{A}{\pi}} = 2 \sqrt{\frac{2.5}{\pi}} = 1.80 \text{ m}$$

$$\text{Hidrolik yarıçapı: } R = \frac{D}{4} = \frac{1.80}{4} = 0.45 \text{ m}$$

$$L' = \sqrt{H_{\text{brüt}}^2 + L^2} = \sqrt{120^2 + 120^2} \approx 170 \text{ m}$$

$$h_L = \frac{C^2 \cdot L' \cdot n^2}{R^{4/3}} = \frac{6^2 \cdot 170 \cdot 0.014^2}{0.45^{4/3}} = 3.48 \text{ m}$$

$$h_L \leq 0.05 \cdot H_{\text{brüt}}$$

$0.05 \cdot 120 = 6 \text{ m} > 3.48$ olduğundan bağıntı kullanılabılır.

Amprile iç çap denklemini kullanırsak

$$H_{\text{brüt}} = 120 \text{ m} > 120 \text{ m} \rightarrow D = \sqrt[3]{\frac{5.2 Q^3}{H_{\text{brüt}}}}$$

$$D = \sqrt[3]{\frac{5.2 \cdot 15^3}{120}} = 2.04 \text{ m}$$

$$R = \frac{D}{4} = \frac{2.04}{4} = 0.51 \text{ m}, \quad C = \frac{4Q}{\pi D^2} = \frac{4 \cdot 15}{\pi \cdot 2.04^2} = 4.59 \text{ m/s}$$

$$h_L = \frac{4.59^2 \cdot 170 \cdot 0.014^2}{0.51^{4/3}} = 1.72 \text{ m}$$

Borun iç çapının artmasıyla kazanılan düşü

$$\Delta H = 3.48 - 1.72 = 1.76 \text{ m}$$

Eğer santral içinde 24 saat ve yılda 180 gün boyunca çalışırsa kazanılan düşüden sağlanacak enerji

$$\Delta E = 8QHT$$

$$\Delta E = 8 \cdot 15 \cdot 1.76 \cdot 180 \cdot 24 = 912384 \text{ kWh olur.}$$

5.5. Cebri Borularda Etkili Kuvvetler

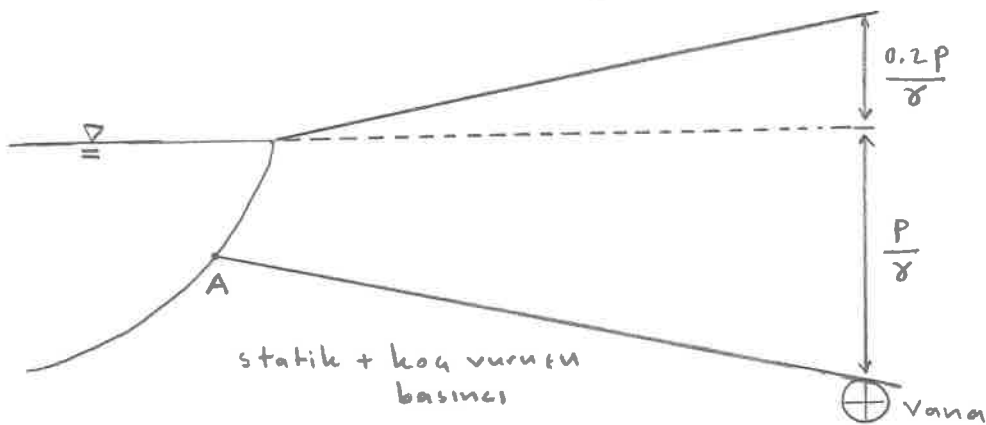
Boruların iç ve dış basıncı değişiklikleriyle oluşan gerilimeleri karşılayacak şekilde dizayn edilmelidir. Cebri borularda ortaya çıkan iç kuvvetler, içерisinden geçen akışkanın iç basıncı nedeniyedir. İç basıncı, statik basıncı ve su titresiminde kaynaklanan basıncı toplamından oluşur ve boruda gevresel gerilmeye neden olur. İç basıncada etkili bağıntılar aşağıda gibidir.

$$\sigma_{\text{etkili}} = \frac{P \cdot r}{e} \rightarrow e = \frac{P \cdot r}{\sigma_{\text{etkili}}}$$

Burada, σ_{etkili} : Normal gerilme, P : Statik + su titresim basıncı, r : Boru iç yarıçapı ve e : Etkenlikçi faktörleridir.

5.6 Kocu Darbesi (Titresim Kaynaklı Gürültü):

Bir borudan akan su bir vananın kapatılmasıyla hasil olduğu zaman borudaki dinamik enerji elastik enerjiye dönüştür ve pozitif ve negatif basıncı dalgalarının bir serisi bir sırturnma etkisiyle sönümleninceye kadar boru içерisinde ileri - geri hərəket eder. Bu olay kocu vuruşu olarak bilinir. Su kocu veya su darbesi olanağı da bilinen bu olayda santrallerde yükseltme nedeniyle ani kapanması, cebri boru içерisindeki suyun yanasaşmasına ve cebri boru alt uylarında büyük basıncaların oluşmasına neden olur.



Bu olay bir basıncı artırmaya sebep olur.

Herhangi bir ortamda bir basıncı dalgasının C hızı, aynı ortamda ses hızına eşittir ve aşağıdaki gibi ifade edilir:

$$C = \left(\frac{E_w}{S_w} \right)^{1/2}$$

Burada, E_w : Suyun Elastisite Modülü, S_w : Suyun Yağunluğu, C : Boru su dalgasının hızı olarak tanımlanmıştır. Su altında normal şartlarda $C=1440 \text{ m/s}$ dir. Koyuruğu nedeniyle ortaya çıkan basının dalgasının hızı borunun elastikliği nedeniyle $1440 \text{ m/s}'den daha azdır. Söz konusu hız boru malzemesi ve boru kapına bağlı olarak 600 ile 1200 m/s arasında değişir. Eğer borunun boyamasına uzunluğu azaltılırsa gevresel gerilme olur. Boyamasına uzama engellenip gevresel gerilmeye neden edilirse basının dalgasının hızı,$

$$C_p = \left(\frac{E_w}{S_w} \right)^{0.5} \cdot \left(\frac{1}{1 + \frac{E_w \cdot D}{E_p \cdot e}} \right)^{0.5}$$

şeklini alır.

Burada, E_p : Boru duvarının Elastisite Modülünü, D : Boru kapını ve e : Et kalınlığını göstermektedir.

Eğer vana açıdan kapanırsa basının dalgası C_p hızı ile boru içinde germeye başlar, dt zaman aralığında bir su elemeninin uzunluğu $C_p \cdot dt$ ile sabittir.

Sürtünme ihmal edilip Newton'un ikinci kanunu söz konusu su elemenine uygulansrsa,

$$F = m \frac{dC}{dt} \rightarrow F \cdot dt = m dC$$

$$A \cdot dP \cdot dt = g A C_p \cdot dt \cdot dC$$

dC

Hiz aralığı iin $dC = -V$ ve $dP = Ph$ olur.

Böylece, koyuruğundan kaynaklanan basının $\rightarrow Ph = g \cdot C_p \cdot C$ olur.

Vananın kapanmasından hemen sonra vanadaki toplam basını,

$$P_{toplam} = Ph + P$$

şeklinde dir.

Boru uzunluğu L olarak dikkate alırsak, vanadan rezervuara gitip geri dönen dalga için zaman,

$$t = \frac{2L}{C_p}$$

şeklinde dir.

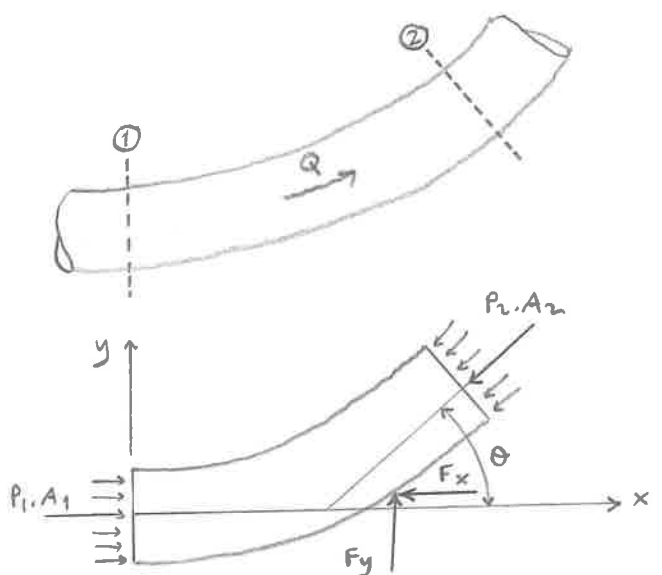
Burada t : vanada pozitif basıncın sürdüğü zamanı göstermektedir.

Eğer vana açımlı olarak kapatılırsa bir dizi kısık basının dalgası boruya gelir. Bu dalgalar rezervuorda yansır ve normal basının dalgası olarak boruya döner.

Koç vuruşu basıncı yavaş kapama vanalarının kullanımını ile büyük oranda düşürülebilir. Bunun dışında otomatik gentletme valfleri, hava odaları ve tanklar koç vuruşu basıncını azaltmak için alternatif olarak kullanılabilir. Pratik hesaplarda $P_h = 0.2 p$ eşitliği dikkate alınabilir.

5.7. Cebri Borularda Direk ve Kesit Değişikliği Durumunda Oluşan Kuvvetler

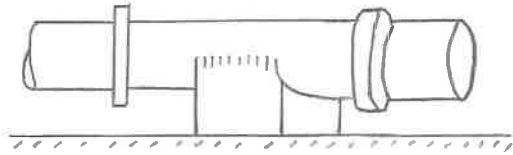
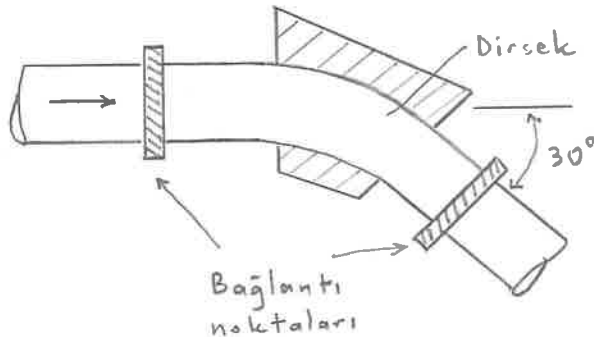
Cebri boru içерisindeki bir akışkanın hızında veya doğrultusundaki bir değişiklik, basıncı değişikliklerinin yol açtığı bir momentum değişimine neden olur. Bu durum akışkanı ve cebri boru duvarlarına etki eden kuvvetleri değiştirir. Aşağıda ① ve ② nesnelerinde sırasıyla P_1 ve P_2 basınlarına ve C_1 ve C_2 hızlarına sahip yatay konumlanmış bir direğe etki eden kuvvetler serbest cisim diyagramı üzerinde görülmektedir.



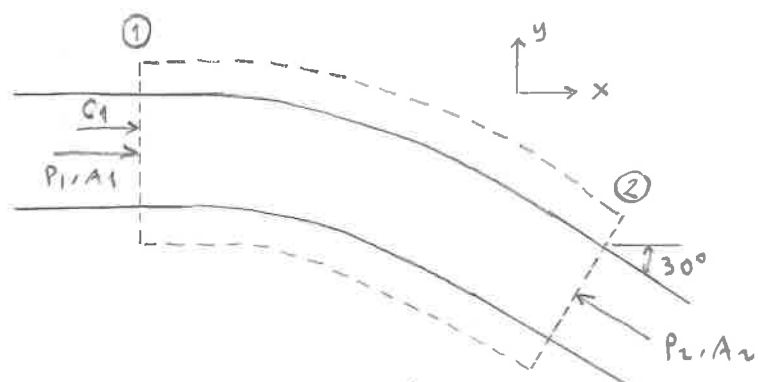
$C_1 = C_2$ ve $P_1 \approx P_2$
olarak dikkate alınır.

Yatay konumlanmış bir direğe etki eden kuvvetler

Örnek 1: 1 m uzağı ve 30° eğime sahip yatay konumlanmış bir diresekten 3 m/sdebitinde su geçmektedir. Diresekteki basıncın uniform ve 75 kPa, diresek hacminin $1,8 \text{ m}^3$ ve diresek eğriliginin 4 kN olduğu dikkate alınırsa diresekte oluşan reaksiyon kuvveti ne olur?



Gözüm:



Verilenler:

$$D = 1 \text{ m}$$

$$P_1 = P_2 = 75000 \text{ Pa}$$

$$Q = 3 \text{ m}^3/\text{s}$$

$$V = 1,8 \text{ m}^3$$

$$W = 4 \text{ kN}$$

$$A_1 = A_2 = \frac{\pi D^2}{4} = 0,785 \text{ m}^2$$

$$C_1 = C_2 = \frac{Q}{A} = \frac{3}{0,785} = 3,82 \text{ m/s}$$

y yönünde lineer momentumun korunumu

$$\uparrow \Sigma F_y = \rho Q (C_{2y} - C_{1y})$$

$$F_y + P_2 \cdot A_2 \cdot \sin 30^\circ = \rho Q (-C_2 \cdot \sin 30^\circ)$$

$$F_y = -35168 \text{ N}$$

x yönünde lineer momentumun korunumu

$$\rightarrow \Sigma F_x = \rho Q (C_{2x} - C_{1x})$$

$$F_x + P_1 \cdot A_1 - P_2 \cdot A_2 \cdot \cos 30^\circ$$

$$= \rho \cdot Q (C_2 \cdot \cos 30^\circ - V_1)$$

$$F_x + 75000 (0,785 - 0,785 \cdot \cos 30^\circ)$$

$$= 1000 \times 3 (3,82 \cdot \cos 30^\circ - 3,82)$$

$$F_x = -9423 \text{ N} \quad (\leftarrow)$$

z yönünde lineer momentumun korunumu

$$\Sigma F_z = \rho Q (C_{2z} - C_{1z})$$

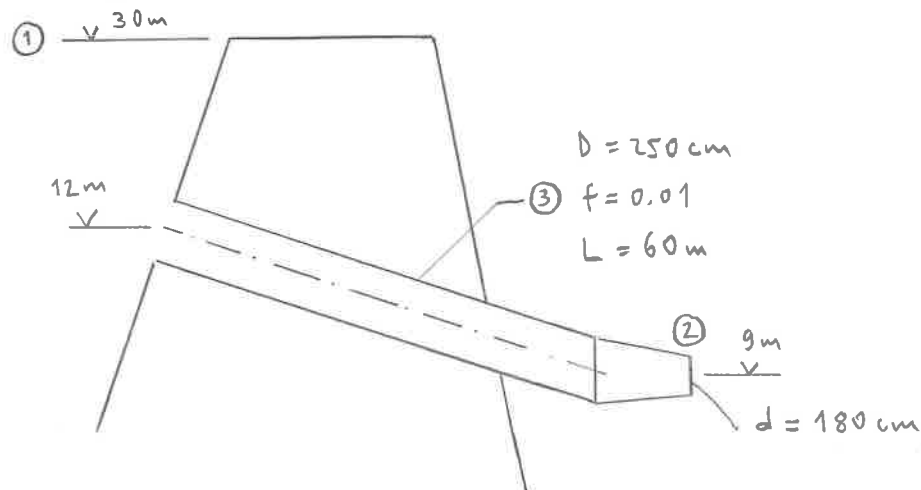
$$-F_z + W_d + W_{su} = 0$$

$$F_z = 4000 + 1,8 \times 9,81 \times 1000$$

$$F_z = 21658 \text{ N}$$

$$F_{\text{diresek}} = -9423 \vec{i} - 35168 \vec{j} + 21658 \vec{k}$$

Örnek 2: Cebri boru ucuna takılan bağlantıda oluşan reaksiyon kuvvetini belirleyiniz.



Görüm:

① ve ② arasında enerjinin korunumu denklemi yazılırsa,

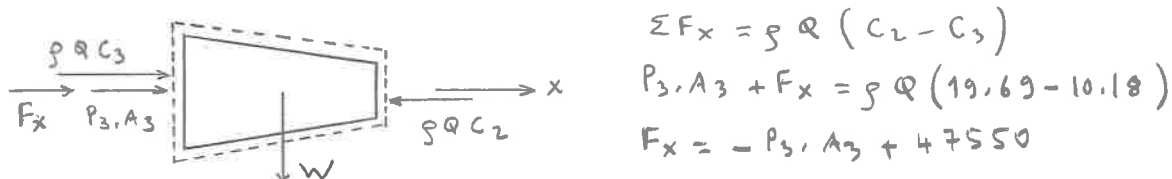
$$\frac{P_1}{\gamma} + \frac{C_1^2}{2g} + z_1 = \frac{P_2}{\gamma} + \frac{C_2^2}{2g} + z_2 + h_L$$

$$0 + 0 + 30 = 0 + \frac{C_2^2}{2g} + g + f \frac{L}{D} \frac{C_2^2}{2g}$$

$$A_2 = \frac{\pi d^2}{4} = \frac{\pi \times 1,8^2}{4} = 2,54 \text{ m}^2, C_2 = \frac{Q}{A_2} = \frac{Q}{2,54}$$

$$A_3 = \frac{\pi D^2}{4} = \frac{\pi \times 2,5^2}{4} = 4,91 \text{ m}^2, C_3 = \frac{Q}{A_3} = \frac{Q}{4,91}$$

$$30 = \frac{Q^2}{2,54^2} + \frac{1}{2 \times 9,81} + g + 0,01 \frac{60}{0,5} \times \frac{Q^2}{4,91^2} \times \frac{1}{2 \times 9,81} \Rightarrow Q \approx 50 \text{ m}^3/\text{s}$$



$$\sum F_x = S Q (C_2 - C_3)$$

$$P_3 \cdot A_3 + F_x = S Q (19,69 - 10,18)$$

$$F_x = -P_3 \cdot A_3 + 47550$$

$$C_2 = \frac{Q}{A_2} = \frac{50}{2,54} = 19,69 \text{ m/s} \quad \left| \frac{P_3}{\gamma} + \frac{C_3^2}{2g} + z_3 = \frac{P_2}{\gamma} + \frac{C_2^2}{2g} + z_2 \right.$$

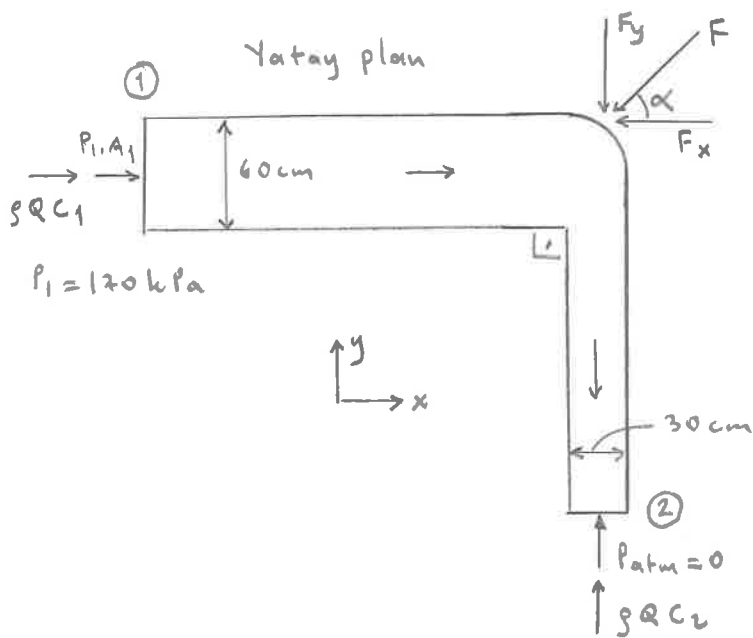
$$C_3 = \frac{Q}{A_3} = \frac{50}{4,91} = 10,18 \text{ m/s} \quad \left| \frac{P_3}{\gamma} + \frac{C_3^2}{2g} = \frac{C_2^2}{2g} \rightarrow \frac{P_3}{\gamma} = \frac{(19,69^2 - 10,18^2)}{2 \times 9,81} \right.$$

$$\frac{P_3}{\gamma} = 14,48 \text{ m} \rightarrow P_3 = 14,48 \times 9,81 \times 1000 \\ P_3 = 142035 \text{ Pa}$$

$$F_x = -142035 \times 4,91 + 47550$$

$$F_x = -222891 \text{ N} (\leftarrow)$$

Örnek 3: Bileşke kuvvetin büyüklüğünü ve doğrusunu belirleyiniz.



Gözüm:

$$\frac{P_1}{\gamma} + \frac{C_1^2}{2g} + z_1 = \frac{P_2}{\gamma} + \frac{C_2^2}{2g} + z_2 \quad (\text{enerjinin korunumu denklemi})$$

$$C_1 \cdot A_1 = C_2 \cdot A_2 \quad (\text{süreklilik denklemi}) \quad C_1 \times \frac{\pi D_1^2}{4} = C_2 \times \frac{\pi D_2^2}{4}$$

$$\frac{C_2}{C_1} = \left(\frac{D_1}{D_2} \right)^2 = \left(\frac{0.6}{0.3} \right)^2 = 4 \quad \Rightarrow \quad C_2 = 4C_1$$

$$\Rightarrow \frac{120000}{9.81 \times 1000} + \frac{C_1^2}{2g} + 0 = 0 + \frac{16C_1^2}{2 \times 9.81} + 0 \Rightarrow \frac{C_1^2}{2g} = 12.33$$

$$C_1 = 4.76 \text{ m/s}, C_2 = 19.04 \text{ m/s}$$

$$Q = \frac{\pi \times 0.6^2}{4} \times 4.76 = 1.35 \text{ m}^3/\text{s}$$

$$\Sigma F_x = \rho Q (C_{2x} - C_{1x})$$

$$P_1 \cdot A_1 + F_x = \rho Q (-4.76)$$

$$F_x = 120000 \times \frac{\pi \times 0.6^2}{4} + 1000 \times 1.35 \times 4.76 \Rightarrow F_x = -54468 \text{ N} \quad (\leftarrow)$$

$$\Sigma F_y = \rho Q (C_{2y} - C_{1y})$$

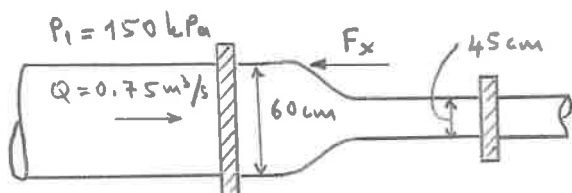
$$F_y = \rho Q (-C_2 - 0)$$

$$F_y = 1000 \times 1.35 + 19.04 \Rightarrow F_y = -25704 \text{ N} \quad (\downarrow)$$

$$F = \sqrt{F_x^2 + F_y^2} = \sqrt{54468^2 + 25704^2} \Rightarrow F = 60228 \text{ N}$$

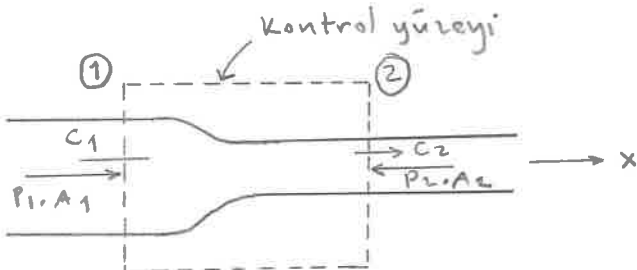
$$\cos \alpha = \frac{F_x}{F} = \frac{54468}{60228} = 0.904 \Rightarrow \alpha = 25.26^\circ$$

Örnek 4:



$$\text{Kıvırgı daralma} = 0.2$$

Görüm:



$$\frac{p_1}{\gamma} + \frac{c_1^2}{2g} + z_1 = \frac{p_2}{\gamma} + \frac{c_2^2}{2g} + h_m , \quad h_m = K \frac{c_2^2}{2g}$$

$$c_1 = \frac{Q}{A_1} = \frac{0,75}{\pi \times 0,6^2 / 4} \rightarrow c_1 = 2,65 \text{ m/s}$$

$$c_2 = \frac{Q}{A_2} = \frac{0,75}{\pi \times 0,45^2 / 4} \rightarrow c_2 = 4,72 \text{ m/s}$$

$$\frac{150 \times 10^3}{9,81 \times 1000} + \frac{0,75^2}{2 \times 9,81} + 0 = \frac{p_2}{9,81 \times 1000} + \frac{4,72^2}{2 \times 9,81} + 0 + 0,2 \frac{4,72^2}{2 \times 9,81}$$

$$p_2 = 140 \text{ kPa}$$

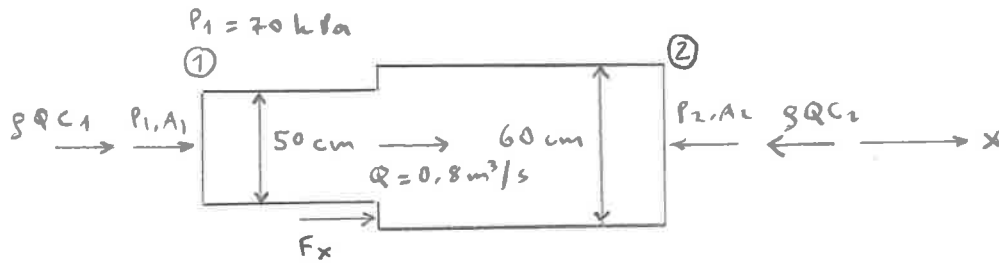
$$\sum F_x = \rho Q (\vec{c}_2 - \vec{c}_1)$$

$$p_1 A_1 + F_x - p_2 A_2 = \rho Q (\vec{c}_2 - \vec{c}_1)$$

$$150000 \times \frac{\pi \times 0,6^2}{4} + F_x - 140000 \times \frac{\pi \times 0,45^2}{4} = 1000 \times 0,25 (4,72 - 2,65)$$

$$F_x = -18637 \text{ N (left)}$$

Örnek 5: $F_x = ?$



Cözüm:

$$A_1 = \frac{\pi \cdot 0,5^2}{4} = 0,1963 \text{ m}^2, C_1 = \frac{Q}{A_1} = \frac{0,8}{0,1963} \rightarrow C_1 = 4,08 \text{ m/s}$$

$$A_2 = \frac{\pi \cdot 0,6^2}{4} = 0,2826 \text{ m}^2, C_2 = \frac{Q}{A_2} = \frac{0,8}{0,2826} \rightarrow C_2 = 2,83 \text{ m/s}$$

$$h_L = \frac{(C_1 - C_2)^2}{2g} = \frac{(4,08 - 2,83)^2}{2 \times 9,81} \rightarrow h_L = 0,08 \text{ m}$$

$$\left[h_m = K_a.g. \frac{C_1^2}{2g}, K_a.g. = 1 \text{ vütsüydi yandaki formül kullanılaaktı.} \right]$$

Enerjikin konumunu denklemi uygulayınca

$$\frac{P_1}{\gamma} + \frac{C_1^2}{2g} + z_1 = \frac{P_2}{\gamma} + \frac{C_2^2}{2g} + z_2 + h_m$$

$$\frac{P_2}{\gamma} = \frac{P_1}{\gamma} + \frac{C_1^2}{2g} - \frac{C_2^2}{2g} - h_m = \frac{70 \times 10^3}{9,81 \times 1000} + \frac{4,08^2}{2 \times 9,81} - \frac{2,83^2}{2 \times 9,81} - 0,08$$

$$\frac{P_2}{\gamma} = 7,5 \text{ m} \rightarrow P_2 = 73575 \text{ Pa}$$

$$\Sigma F_x = g \cdot Q (C_{2x} - C_{1x})$$

$$P_1 \cdot A_1 + F_x - P_2 \cdot A_2 = g \cdot Q (C_2 - C_1)$$

$$70 \times 10^3 \times 0,1963 + F_x - 73,575 \times 10^3 \times 0,2826 = 1000 \times 0,8 (2,83 - 4,08)$$

$$F_x = 3694 \text{ N} (\rightarrow)$$